

一氧乙酰旋覆花内酯对血管紧张素Ⅱ诱导的肥大心肌细胞的保护性作用

酉鹏华 何晓敏 林静 陈海潮 崔倩卫

摘要 目的 探讨 ABL 在心肌细胞肥大中的作用及其机制。**方法** 体外培养 H9C2 心肌细胞, 血管紧张素Ⅱ (Ang II) 构建心肌细胞肥大模型; 模型组给予 $1\mu\text{mol/L}$ Ang II 刺激 24h、ABL 处理组给予 Ang II 刺激, 同时给予 $5\mu\text{mol/L}$ 和 $10\mu\text{mol/L}$ ABL 处理 24h。采用心肌细胞肌动蛋白 α -actinin 染色评价心肌细胞大小, 采用 RT-PCR 检测肥厚相关基因心房利钠肽 (ANP)、脑钠肽 (BNP)、肌球蛋白重链 β (β -MHC) 的表达; 蛋白印迹 (Western blot) 法检测信号通路蛋白的表达。**结果** 与模型组比较, $5\mu\text{mol/L}$ 和 $10\mu\text{mol/L}$ ABL 处理组心肌细胞面积明显降低 ($P < 0.05$); ANP、BNP、 β -MHC 肥厚相关基因表达降低 ($P < 0.05$), 且其抗心肌细胞肥大呈现剂量依赖性 ($P < 0.05$)。Western blot 法检测结果显示 ABL 处理组 AMPKa 磷酸化水平增高 ($P < 0.05$), 而 Akt、mTOR、GSK3 β 的磷酸化明显抑制 ($P < 0.05$); AMPKa 抑制剂 Compound C 可阻断 ABL 的心肌保护作用。**结论** ABL 可通过激活 AMPKa 信号通路, 调节 Akt/mTOR/GSK3 β 对 Ang II 诱导的心肌细胞肥大发挥保护性作用。

关键词 一氧乙酰旋覆花内酯 心肌细胞 血管紧张素Ⅱ AMPKa Akt

中图分类号 R541

文献标识码 A

DOI 10.11969/j.issn.1673-548X.2018.04.033

Protective Effect of 1-O-acetylbritannilactone in Angiotensin II Induced Cardiomyocyte Hypertrophy. You Penghua, He Xiaomin, Lin Jing, et al. Department of Cardiology, Shaanxi Provincial People's Hospital, Shaanxi 710068, China

Abstract Objective To explore the role of ABL in cardiomyocytes hypertrophy. **Methods** H9C2 myocardial cells were stimulated with Angiotensin II (Ang II). The cell surface area was measured by α -actinin staining. The mRNA expression of atrial natriuretic peptide (ANP), brain natriuretic peptide (BNP) and myosin heavy chain beta (β -MHC) was measured by RT-PCR. The protein expression of AMPKa signaling proteins were detected by Western blot. **Results** Compared with model group, cell surface area in $5\mu\text{mol/L}$ and $10\mu\text{mol/L}$ ABL treatment group was decreased significantly. The expression of ANP, BNP, β -MHC was decreased in a dose dependent manner. The phosphorylation of AMPKa expression was decreased in model group. After treatment with ABL, the levels of phosphorylation of AMPKa was up-regulated, and phosphorylation of Akt, mTOR, GSK3 β was significantly decreased. AMPKa inhibitor compound C abolished the protective effect of ABL. **Conclusion** ABL can protect cardiomyocytes against Ang II induced cardiomyocytes hypertrophy by regulating AMPKa/Akt/mTOR/GSK3 β signal pathway.

Key words 1-O-acetylbritannilactone; Cardiomyocytes; Ang II; AMPKa; Akt

心肌肥厚是各种心血管疾病发展成为心力衰竭的共同病理过程。心肌肥厚主要表现为心肌细胞体积增大, 蛋白质合成增多, 胚胎基因的激活等^[1]。研究证实左心室肥厚与心力衰竭患者病死率呈明显相关性^[2]。在受到机械牵张刺激(容量负荷过重, 压力负荷增加), 或体液因子刺激(血管紧张素、儿茶酚胺、醛固酮、内皮素等)下, 心肌细胞膜上相关受体激活, 刺激细胞内信号转导分子的活化, 通过一系列信号通路网络促进细胞核内肥厚相关基因的转录。多

种信号分子参与其中, 包括磷脂酰肌醇 3-激酶 (PI₃K)/蛋白激酶 B (Akt) 信号通路、丝裂原活化蛋白激酶 (MAPK) 信号通路、Ca²⁺/钙调蛋白磷酸酶信号通路和 AMP 依赖的蛋白激酶通路等^[3]。尽管近年来对心肌肥厚的发生、发展机制的认识逐渐深入, 然而心肌肥厚发展成为心力衰竭的病患数逐年增加, 如何更有效的抑制心肌肥厚的发展至关重要。

一氧乙酰旋覆花内酯 (ABL) 是提取自欧亚旋覆花的一种倍半萜类化合物。现代研究表明, ABL 具有抗肿瘤、抗炎、护肝、抗粥样硬化等多种生物学活性^[4-6]。ABL 可通过多条信号通路发挥其生物活性作用。ABL 可通过抑制蛋白激酶 B (protein kinase B, AKT) 信号通路抑制黑色素活性^[5]。ABL 可抑制

作者单位:710068 西安, 陕西省人民医院心血管内科(酉鹏华、林静、陈海潮、崔倩卫); 西安理工大学医院(何晓敏)

通讯作者:崔倩卫, 电子信箱:qweui0502@163.com

NF- κ B 活性抑制新生内膜形成从而降低血管成形术后再狭窄的风险^[7]。Zhao 等^[8]发现,ABL 可以促进血管内皮生长因子诱导的 Akt 等的磷酸化而促进人内皮细胞的增殖、迁移和血管生成。但是,目前 ABL 在心肌细胞肥大中的作用尚无报道。本研究通过建立离体心肌细胞肥大模型,探讨 ABL 对心肌细胞肥大的抑制作用及其潜在机制,为心肌肥厚和心力衰竭的防治提供新靶点。

材料与方法

1. 材料:一氯乙酰旋覆花内酯(纯度为 98%,中国辰光生物公司),一抗:磷酸化(P-)和总的(T-)AMPKa 抗体,Akt 抗体,mTOR 抗体,GSK3 β 抗体,(美国 CST 公司);GAPDH 抗体(美国 Santa Cruz 公司);Ang II(美国 Sigma 公司);AMPKa 抑制剂 compound C(美国 Sigma 公司)。

2. H9C2 心肌细胞培养:H9c2 心肌细胞株购自中国科学院细胞库,用低糖培养基(DMEM)孵育,培养基中添加 10% 的胎牛血清(FBS)、青霉素(100U/ml)和链霉素(100U/ml),置于 37°C、5% CO₂ 的细胞培养箱中生长。

3. 细胞分组与处理:为探讨 ABL 对心肌细胞肥大的影响,将培养的 H9C2 心肌细胞随机分为 6 组:①对照组:加与模型组相同体积的 PBS;②模型组:Ang II(1 μmol/L)刺激心肌细胞 24h;③5 μmol/L ABL 的处理组:心肌细胞同时给予 Ang II(1 μmol/L)和 5 μmol/L ABL 孵育 24h;④10 μmol/L ABL 的处理组:心肌细胞同时给予 Ang II(1 μmol/L)和 10 μmol/L ABL 孵育 24h;⑤AMPKa 抑制剂处理组:心肌细胞同时给予 Ang II(1 μmol/L)和 CompoundC(10 μmol/L)孵育 24h;⑥AMPKa 抑制剂 + ABL 处理组:心肌细胞同时给予 Ang II(1 μmol/L),CompoundC(10 μmol/L)和 ABL(10 μmol/L)孵育 24h。

4. α -actinin 免疫荧光染色:细胞爬片处理后用 4% 多聚甲醛进行固定,0.2% Triton X 通透后用 8% 羊血清封闭 1h, α -actinin 一抗孵育 4°C 过夜,二抗孵育 1h 后用 DAPI 染细胞核后封片,显微镜下观察。

5. RT-PCR 检测 mRNA 表达量:trizol(美国 Invitrogen 公司,15596-026)提取细胞的总 RNA,反转录试剂盒(瑞士 Roche 公司,04896866001)将每组 2mg 的总 RNA 反转录为 cDNA。利用 LightCycler 480 SYBR Green 荧光定量 PCR 仪进行 PCR 反应。每个样品设 3 个复管。并用将其结果与 GAPDH 基因的表达进行对比。

6. 蛋白免疫印迹:收集处理结束后的细胞,将各组细胞用裂解缓冲液裂解后,离心后取上清,采用 BCA 法测量蛋白浓度。将组织裂解产物使用 10% SDS-PAGE 胶进行分离,然后转移到 PVDF 膜上,再使用 5% 脱脂牛奶封闭 2h。4°C 孵育一抗过夜。37°C 孵育二抗 1h,使用双色红外成像系统进行扫膜分析。采用 Quantity One 软件计算分析各蛋白条带和对应的内参蛋白(GAPDH)条带的灰度。

7. 统计学方法:使用 SPSS 13.0 统计学软件进行统计分析。计量资料以均数 ± 标准差($\bar{x} \pm s$)表示。使用单因素方差分析检测各组间的显著性差异。两组间比较使用两独立样本的 t 检验,以 $P < 0.05$ 为差异有统计学意义。

结 果

1. ABL 处理对心肌细胞面积的影响:与对照组相比,Ang II 处理 24h 后心肌细胞面积显著增大,而 5 μmol/L 和 10 μmol/L ABL 处理后均能减少 Ang II 引起的心肌细胞面积增大($P < 0.05$),见图 1。

2. ABL 处理对心肌细胞肥厚相关基因表达的影响:采用 RT-PCR 检测心肌细胞肥厚相关基因的转录水平,发现 Ang II 处理后的心肌细胞肥厚标志物 ANP、BNP、 β -MHC 的转录均明显增加($P < 0.05$),而给予 ABL 预处理后,Ang II 诱导的肥厚基因的转录被明显抑制,且该作用呈明显的浓度依赖性($P < 0.05$),见图 2。

3. ABL 处理对 AMPKa 信号通路的影响:由于 ABL 可通过影响 Akt 信号通路发挥多种生物学效应,而 Akt 信号通路在心肌肥厚中扮演着重要的角色^[9,10]。因此笔者检测了心肌细胞中 Akt 及其上游 AMPKa,下游 mTOR、GSK3 β 的磷酸化水平,以探讨 ABL 保护 H9C2 心肌细胞肥大的潜在机制。模型组 AMKPa 的磷酸化水平明显下调($P < 0.05$),Akt、mTOR 和 GSK3 β 的磷酸化水平明显增加($P < 0.05$);给予 ABL 预处理后 AMKPa 的磷酸化水平均上调($P < 0.05$),Akt、mTOR 和 GSK3 β 的磷酸化水平明显降低($P < 0.05$)。ABL 可能通过调控 AMPKa/Akt/mTOR/GSK3 β 信号通路来改善 Ang II 诱导的心肌细胞肥大反应,见图 3。

4. AMPKa 抑制剂阻断 ABL 对心肌细胞肥大的保护作用:为进一步确认 AMPKa 在 ABL 保护心肌细胞肥大中的重要作用,笔者采用 AMPKa 抑制剂 compoundC 处理心肌细胞,compoundC 处理组心肌细胞面积明显大于 Ang II 刺激组,且 compoundC + ABL 组

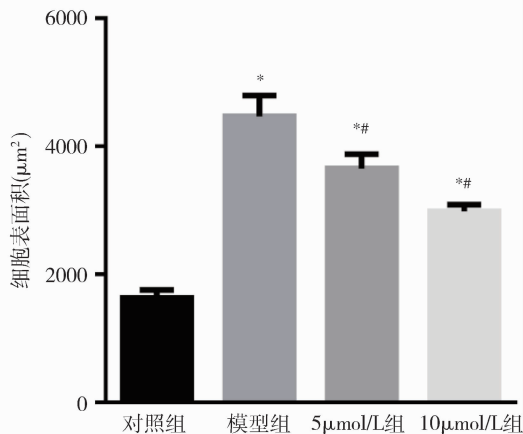
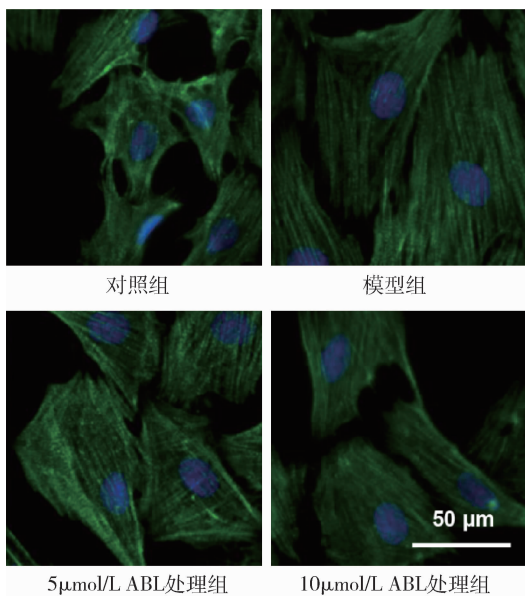


图 1 ABL 处理对心肌细胞面积的影响

绿色. α -actinin; 蓝色. 细胞核; 与对照组比较, * $P < 0.05$; 与模型组比较, # $P < 0.05$

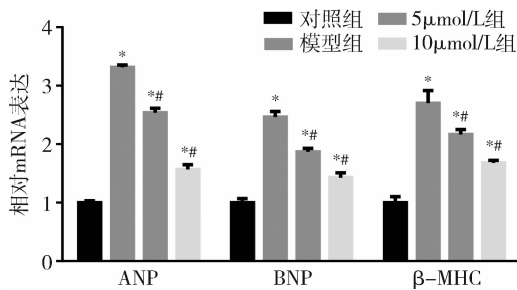


图 2 ABL 对肥厚基因表达的影响

与对照组比较, * $P < 0.05$; 与模型组比较, # $P < 0.05$

心肌细胞面积未见减小, 提示 compoundC 消除了 ABL 的心肌细胞保护作用, 见图 4。

5. AMPKa 抑制剂阻断 ABL 对心肌细胞肥厚相关基因表达的抑制:采用 RT - PCR 检测心肌细胞肥厚相关基因的转录水平,发现 compoundC 处理组心肌细胞肥厚基因的转录明显高于模型组,且 compoundC + ABL 组心肌细胞肥厚基因的转录未见降低,提示 compoundC 消除了 ABL 对心肌细胞的保护作用,见图 5。

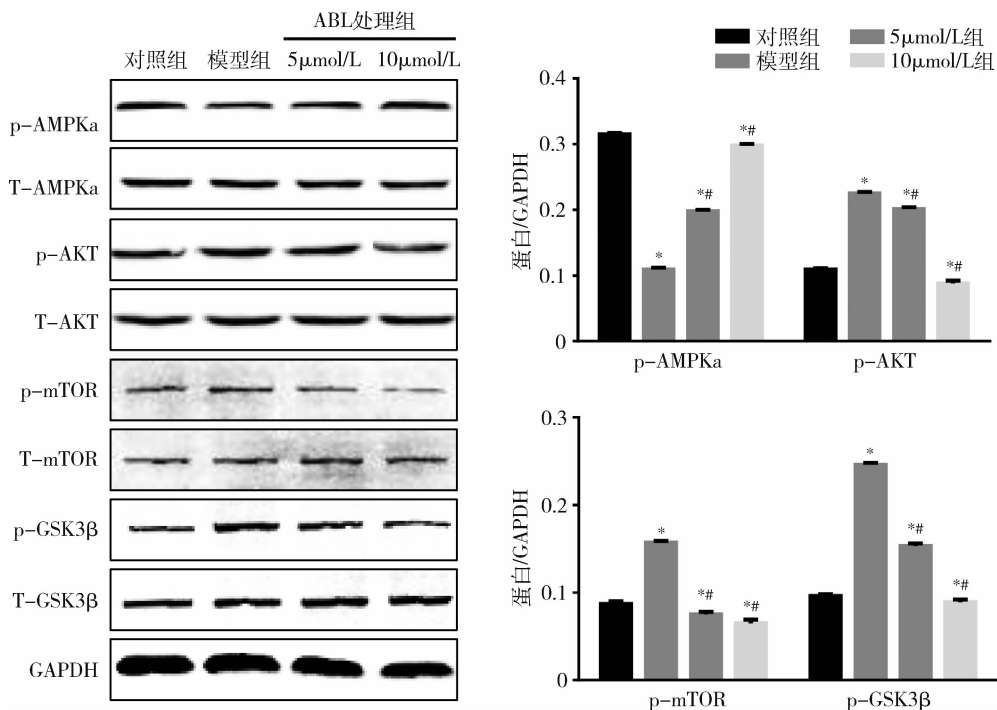
讨 论

本研究探讨 ABL 对 Ang II 诱导的心肌细胞肥大的作用。本研究结果发现 ABL 能够减轻 Ang II 诱导的心肌细胞肥大和胚胎基因的激活。ABL 通过激活 AMPKa, 抑制 Akt、mTOR 信号通路发挥抗心肌细胞肥大的药理作用。而 AMPKa 抑制剂可拮抗 ABL 的抗心肌细胞肥大作用, 表明 AMPKa 是 ABL 的主要作用

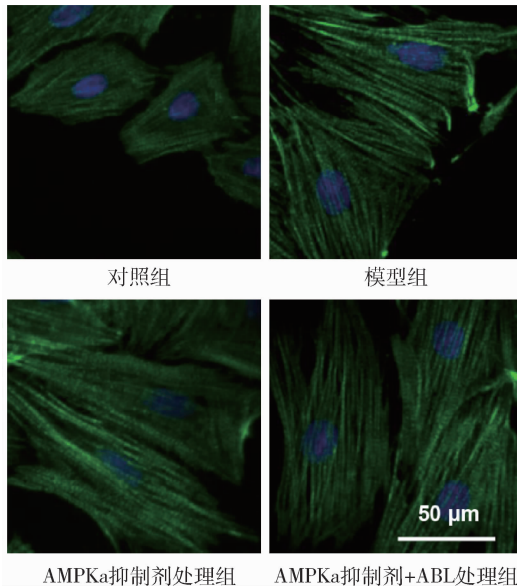
靶点。

腺苷一磷酸激活蛋白激酶(AMPK)是丝氨酸苏氨酸激酶,其作为代谢传感器,协调心脏的合成代谢和分解代谢过程^[11]。AMPK 的激活是由于细胞内 ATP 和 AMP 在细胞质中的量变引起的。AMPK 激活导致抑制能量消耗过程而激活能量的产生^[12]。因此,AMPK 激活能够恢复能量平衡,AMPK 介导的生理效应有助于心肌细胞的健康维持和存活。AMPK 不仅仅能够调节心脏能量代谢,AMPK 在多种细胞代谢中也起着关键作用例如,AMPK 调节翻译后的乙酰化,细胞自噬,线粒体自噬,内质网应激和心肌细胞凋亡。此外,AMPK 还参与心肌肥厚的发展^[13]。研究表明,AMPKa 抑制剂二甲双胍和 AICAR 能够抑制心肌细胞中蛋白质合成和心肌细胞的肥厚性生长^[14]。长期抑制 AMKPa 的活性加重缺血后心脏功能障碍和异常的凋亡。小鼠 AMPKa 基因缺失加重主动脉缩窄诱导的心肌肥厚和心功能障碍。均表明 AMPKa 在调节心肌肥厚中的重要作用^[15]。而以往的研究表明 ABL 可通过多条信号通路发挥其生物活性作用。ABL 可通过抑制 AKT 信号通路^[8]和 NF- κ B^[16]信号通路。本研究揭示 ABL 在心肌细胞中可激活 AMPKa 信号通路,抑制肥厚反应,保护心肌细胞。

Akt 信号参与调节新陈代谢、葡萄糖摄取、增殖和蛋白质合成和细胞生存,其在调节心肌细胞的大小、存活、血管生成和生理性和病理性心肌肥厚的反

图3 ABL 处理对 AMPK α 信号通路的影响

与对照组比较, * P < 0.05; 与模型组比较, # P < 0.05

图4 AMPK α 抑制剂阻断 ABL 对心肌细胞肥大的抑制作用

与对照组比较, * P < 0.05; 与模型组比较, # P < 0.05

应中发挥重要作用^[17]。心肌细胞 Akt 的长期或结构性激活导致心肌肥厚, 心功能恶化; 适度活化的 Akt 则可以保护心脏缺血再灌注损伤。Akt 促进心肌肥大的下游靶点包括 GSK - 3 β 、mTOR、FOXO。mTOR 通过 P70S6K 激酶诱导蛋白翻译加速, 增加细胞生长, mTOR 抑制剂雷帕霉素可以减轻压力负荷诱导

的心肌肥厚反应。GSK3 β 是一种丝氨酸/苏氨酸激酶。在未受刺激的细胞中, GSK3 β 功能活跃, 当细胞受到外界刺激时, Akt 磷酸化 GSK3 β N - 末端的第 9 位丝氨酸, 使其磷酸化降解。GSK3 β 参与负性调节心肌肥厚, 心肌特异性过表达 GSK3 β 能够减低压力负荷引起的肥大反应。以往的研究提示 ABL 能够抑

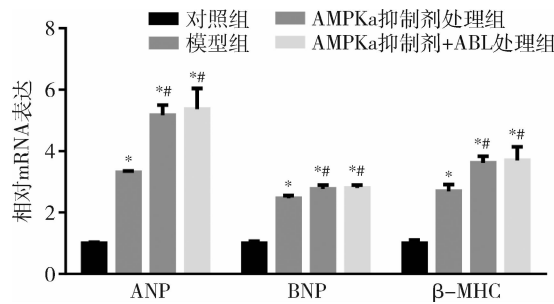


图 5 AMPK α 抑制剂阻断 ABL 对心肌肥厚相关基因表达的抑制作用

与对照组比较, * $P < 0.05$; 与模型组比较, ** $P < 0.05$

制 Akt 信号通路^[9]。笔者的研究与之相应, ABL 在心肌细胞中通过抑制持续激活的 Akt 以及其下游的 mTOR、GSK3 β 的磷酸化抑制心肌细胞的肥大反应。

总之,本研究首次揭示 ABL 可通过激活 AMPK α , 抑制 Akt 信号通路发挥抗心肌细胞肥大的作用,其可能作为治疗心肌肥厚和心力衰竭的新药物,进一步的研究需要探讨 ABL 在动物体内是否能够发挥抗心肌肥厚的效用。

参考文献

- Tuomainen T. The role of cardiac energy metabolism in cardiac hypertrophy and failure [J]. *Exp Cell Res*, 2017, 17: 30178 – 30177
- Zhou L, Han X. The role of autophagy in angiotensin II – induced pathological cardiac hypertrophy [J]. *J Mol Endocrinol*, 2016, 57 (4) : R143 – R152
- Liu R. Regulation of cardiac hypertrophy and remodeling through the dual – specificity MAPK phosphatases (DUSPs) [J]. *J Mol Cell Cardiol*, 2016, 101: 44 – 49
- Wang F, Li H, Qiao JO. 1Oacetylbritannilactone combined with gemcitabine elicits growth inhibition and apoptosis in A549 human nonsmall cell lung cancer cells [J]. *Mol Med Rep*, 2015, 12 (4) : 5568 – 5572
- Choo SJ, Ryoo JJ, Kim KC, et al. Hypo – pigmenting effect of sesquiterpenes from Inula britannica in B16 melanoma cells [J]. *Arch Pharm Res*, 2014, 37 (5) : 567 – 574
- Dong M, Hong T, Liu S, et al. Hepatoprotective effect of the flavonoid fraction isolated from the flower of Inula britannica against D – Galactosamine – induced hepatic injury [J]. *Mol Med Rep*, 2013, 7 (6) : 1919 – 1923
- Wang BZ. The combination use of 1 – O – acetylbritannilactone (ABL) and gemcitabine inhibits cell growth and induces cell apoptosis in lung adenocarcinoma cells [J]. *Pharmazie*, 2016, 71 (4) : 213 – 217
- Zhao J, Niu H, Li A, et al. Acetylbritannilactone modulates Vascular endothelial growth factor signaling and regulates angiogenesis in endothelial cells [J]. *PLoS One*, 2016, 11 (2) : e0148968
- Sun N, Wang H, Wang L. Protective effects of ghrelin against oxidative stress, inducible nitric oxide synthase and inflammation in a mouse model of myocardial ischemia/reperfusion injury via the HMGB1 and TLR4/NF – kappaB pathway [J]. *Mol Med Rep*, 2016, 14 (3) : 2764 – 2770
- Diaz A, Humeres C, Gonzalez V, et al. Insulin/NFkappaB protects against ischemia – induced necrotic cardiomyocyte death [J]. *Biochem Biophys Res Commun*, 2015, 467 (2) : 451 – 457
- Li T, Yang Z, Ma Z, et al. Targeting the energy guardian AMPK: another avenue for treating cardiomyopathy? [J]. *Cell Mol Life Sci*, 2017, 74 (8) : 1413 – 1429
- Dascalopoulos EP, Beaujoue C, Bertrand L, et al. AMPK in cardiovascular diseases [J]. *EXS*, 2016, 107: 179 – 201
- Kundu BK, Sen S, Davogustto G, et al. Remodeling of glucose metabolism precedes pressure overload – induced left ventricular hypertrophy: review of a hypothesis [J]. *Cardiology*, 2015, 130 (4) : 211 – 220
- Ma ZG, Yuan Y, Zhang X, et al. Piperine attenuates pathological cardiac fibrosis via PPAR – γ /AKT pathways [J]. *EBioMedicine*, 2017, 18: 179 – 187
- Ma ZG, Dai J, Zhang WB, et al. Protection against cardiac hypertrophy by geniposide involves the GLP – 1 receptor / AMPK α signalling pathway [J]. *Br J Pharmacol*, 2016, 173 (9) : 1502 – 1516
- Liu B, Han M, Wen JK. Acetylbritannilactone Inhibits Neointimal Hyperplasia after Balloon Injury of Rat Artery by Suppressing Nuclear Factor – κ B Activation [J]. *J Pharmacol Exp Ther*, 2008, 324 (1) : 292 – 298
- Wang KC, Zhang S, McMillen IC, et al. Akt signaling as a mediator of cardiac adaptation to low birth weight. [J]. *J Endocrinol*, 2017, 233 (2) : R81 – R94

(收稿日期:2017-07-26)

(修回日期:2017-09-12)

(接第 142 页)

- 冯晓冰. 剖宫产后盆腔粘连患者血清粘连相关指标与血流变指标的变化研究 [J]. 中国医药科学, 2016, 6 (22) : 80 – 82
- Ohsawa I, Ishikawa M, Takahashi K, et al. Hydrogen acts as a therapeutic antioxidant by selectively reducing cytotoxic oxygen radicals [J]. *Nat Med*, 2007, 13 (6) : 688 – 694
- 孙丰伟, 韩玉刚, 孟令国. 富氢水预处理对大鼠肝缺血再灌注损伤的保护研究 [J]. 泰山医学院学报, 2014, 35 (10) : 984 – 988
- Tan YC, Xie F, Zhang HL, et al. Hydrogen – rich saline attenuates postoperative liver failure after major hepatectomy in rats [J]. *Clin Res Hepatol Gastroenterol*, 2014, 38 (3) : 337 – 345
- 刘镇, 姬瑞娟, 孙爱军, 等. 饱和氢水减轻大鼠盲肠擦伤致术后粘连 [J]. 解剖学杂志, 2012, 35 (5) : 649 – 652
- 张聪聪, 巍霞, 王滨, 等. 吸入氢气对豚鼠大鼠心肌损伤的影响 [J]. 中国医学创新, 2015, 12 (32) : 15 – 18
- 张泉三, 巍霞, 王滨, 等. 吸入氢气对大鼠心肌缺血再灌注损伤的影响 [J]. 中国当代医药, 2015, 22 (27) : 7 – 9, 21
- 石海梅, 周华成, 刘金锋, 等. 吸入氢气对休克复苏大鼠急性肺损伤的影响 [J]. 临床麻醉学杂志, 2014, 30 (5) : 490 – 493

(收稿日期:2017-07-05)

(修回日期:2017-08-18)